

Solitons et cosmologie ou symétrie et beauté intersidérale

Conférence du vendredi

Éric Dupuis

Université de Montréal, département de physique des particules

XX-XX-2014

- 1 Cosmologie
 - Cosmologie 101
 - Atteinte du vide
 - Symétrie et cosmologie

- 2 Solitons - Appareillage mathématique
 - Équation d'ondes et soliton
 - Formalisme Lagrangien
 - Kink

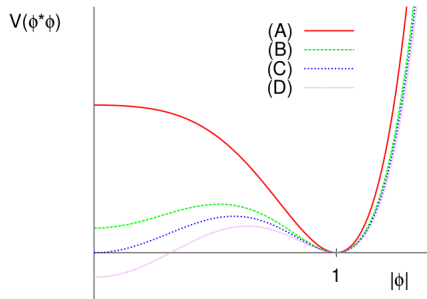
- 3 Quotidien en cosmologie théorique des particules

Cosmologie 101

- ① Cosmologie : Structure/origine/évolution de l'univers
 - ① Big Bang
 - ② Modèles inflationnistes
 - ③ Expansion de l'univers
- ② Règles : Relativité générale, mécanique quantique, théorie des champs
- ③ Configurations : Constantes de couplage, paramètres libres

Questions fondamentales (style cosmo)

- 1 D'où venons-nous ? (État primordial de l'univers)
- 2 Qui sommes-nous ? (État actuel de l'univers)
- 3 Où allons-nous ? (Évolution de l'univers)



Symétries en physique des particules

Brisure spontanée de symétrie

Les lois de la nature peuvent posséder des symétries sans que l'état de vide (fondamental) le soit nécessairement

- ① Boson : Goldstone, Higgs et les jauges
- ② Glashow, Salam et Weinberg : $SU(2) \times U(1)$

Modèle standard permet les associations suivantes :

Groupes de Lie pour les forces

- ① nucléaire faible : $SU(2)$
- ② nucléaire forte : $SU(3)$
- ③ électromagnétique : $U(1)$

Ferroaimant de Heisenberg - Dipôles magnétiques sur réseau

Invariance de H sous rotation

$$H = -J \sum_i \sum_{\text{voisins } j} \vec{S}_i \cdot \vec{S}_j$$

→ État de plus basse énergie : dipôles alignés

Petit homme dans le réseau

Et bien plus encore : vortex pour expliquer les supra type I et II

- ① Température critique (Curie)
- ② Vides dégénérés : défauts topologiques prises (liés au solitons)

- ① max : univers primordial
(densité d'énergie)
- ② min : notre état de
l'univers ?
- ③ transition, et apparition d'un
vrai vide
 - ① possibilité de transition
par effet tunnel
 - ② taux de désintégration ;
dégénérescence des faux
vides

Fin de 1ère section

Retenez :

- ① Description de l'univers par un potentiel, son origine, son évolution
- ② Brisure spontanée de symétrie
- ③ État métastable
- ④ Deuxième section : lien entre les solitons et les défauts topologiques (brisure ...)

Équation d'ondes

Champ scalaire défini dans \mathbb{R}^n : $\phi(\vec{x}, t)$

Équation d'onde $O(n+1)$

$$\frac{1}{c^2} \frac{\partial^2 \phi}{\partial t^2} - \nabla^2 \phi = \square \phi = 0 \quad (1)$$

Deux propriétés étudiées dans les solutions ϕ

- Forme et vitesse de l'onde conservées
- Deux ondes retrouvent asymptotiquement leur forme et vitesse

① Équation d'onde : $V=0$

Potentiels différents - Équations du mouvements modifiées

① terme dispersif : $\square\phi + \mathbf{m}^2\phi = 0$ (Klein-Gordon)

① onde plane : $k^2 \rightarrow k^2 + m^2$

② terme non-linéaire : ϕ^3

En s'éloignant de l'équation d'onde, les deux propriétés peuvent être conservées : ondes solitaires et solitons

Sur sa monture, John Russell poursuit sa destinée qui le mène vers
l'onde solitaire

- ① Densité d'énergie d'un soliton $\epsilon(x, t)$: localisée dans l'espace

$$\begin{aligned} E[\phi] &= \int dx dt (\mathcal{H}[\phi]) = \int dx dt \left[\frac{1}{2} \partial_x \phi (\partial_x \phi)^* + V \right] \\ &= \int dx dt \left[\frac{1}{2} (\partial_x \phi)^2 + V \right] \end{aligned}$$

- ① Énergie finie :

① $\lim_{x \rightarrow \pm\infty} \partial_x E = 0$

② $\lim_{x \rightarrow \pm\infty} \phi[x] = g^{(i)}$ où les $g^{(i)}$ sont les min. de V

Formalisme Lagrangien

Notation covariante

- ① $x_0 = ct, x_{1,2,3} = x, y, z$
- ② $x^\mu = (x_0, \vec{x})$ et $x_\mu = (x_0, -\vec{x})$
- ③ Métrique : $x^\mu = g^{\nu\mu} x_\nu$
- ④ Minkowski : $\eta^{\nu\mu} \text{ diag}(1, -1, -1, -1)$
- ⑤ indices répétés : $v_a \cdot v_a = \sum_{i=0}^3 x_i^2$ (produit scalaire)

- ① *Action* : $S[\phi] = \int dt(L[\phi]) = \int dx_\mu(\mathcal{L}[\phi])$
 - ① Principe d'Hamilton : ϕ_0 | action minimisée
 - ② Premier ordre nul pour un minimum d'action
- ② $\mathcal{L}[\phi] = \frac{1}{2}\partial_\mu\phi(\partial^\mu\phi)^* - V$
- ③ *Euler-Lagrange* : $\partial_\mu \left(\frac{\mathcal{L}}{\partial(\partial_\mu\phi)} \right) = \frac{\partial\mathcal{L}}{\partial\phi}$

$$V = 0$$

$$\text{Par Euler-Lagrange : } \partial_\mu \left(\frac{\partial_a\phi(\partial^a\phi)^*}{\partial_\mu\phi} \right) = 0$$

$$\partial_t(\partial^t\phi)^* + \partial_x(\partial^x\phi)^* + \dots = 0$$

$$\square\phi = 0$$

Kink : cas de figure typique

Potentiel d'ordre 4

- ① deux minimums absolus
- ② ...

$$V(\phi) = \frac{\lambda}{4}(|\phi|^2 - \frac{m^2}{\lambda})^2$$

$$\mathcal{L} = \frac{1}{2}(\partial_x \phi)^2 - V$$
$$\rightarrow \phi'' = \lambda \phi^3 - m^2 \phi$$

Analogie mécanique classique

Champ

$$\textcircled{1} \mathcal{H} = \frac{1}{2}(\partial_t \phi)^2 + \frac{1}{2}(\partial_x \phi)^2 + V(\phi)$$

$$\textcircled{2} \frac{\partial^2 \phi}{\partial x^2} = \frac{\partial V}{\partial \phi}$$

$$\textcircled{3} E_\phi = \int dx \left[\frac{1}{2}(\partial_x \phi)^2 + V(\phi) \right]$$

$$\textcircled{1} E_\phi \text{ finie} \leftrightarrow S_q \text{ finie} \rightarrow E_q = 0$$

$$\textcircled{2} \text{ On étudie alors : } -V$$

Particule

$$\textcircled{1} L = \frac{1}{2}\dot{q}^2 - U(q)$$

$$\textcircled{2} \frac{\partial^2 q}{\partial t^2} = -\frac{\partial U}{\partial q}$$

$$\textcircled{3} S_q = \int dt \left[\frac{1}{2}\dot{q}^2 - U(q) \right]$$

$$V(\pm\infty) \rightarrow \pm 1$$

① CCEF

Solution privilégiée : D'un max à l'autre

Récapitulons :

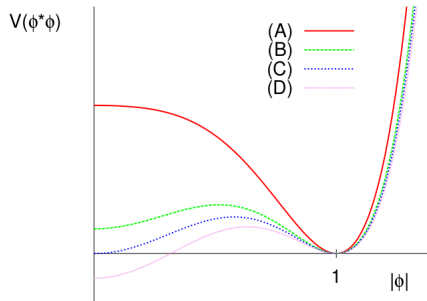
- ① 1+1 dimensions, mais solution statique
- ② Potentiel $V \rightarrow$ Équations d'Euler-Lagrange
- ③ Équations d'Euler-Lagrange \rightarrow Équations du mouvement :
 - ① $\rightarrow \phi'' = \lambda\phi^3 - m^2\phi$ (équation statique)
 - ② solution : kink

- ① Défaut topologique et déformations continues
- ② Mur de domaine (symétrie discrète brisée, 1 dimension)
- ③ En plusieurs dimensions, cordes cosmiques, monopôles

Retour - Cosmologie et solitons

- ① Cosmologie et brisure de symétrie dans la nature (MS, ferroaimant)
- ② Évidences expérimentales pour une brisure de symétrie
- ① Expression des brisures de symétrie : défauts topologiques, solitons
- ② Structure non triviale des vides : *solitons* \leftrightarrow *univers*

Taux de désintégration : effet tunnel quantique



Potentiel inversé : recherche du chemin de moindre action
(Euclidienne) \rightarrow bounce

Intégrale de chemin : $\tau/V \approx e^{-S_0/\hbar}$

Fluctuation d'un soliton : autre source de désintégration !!!

Potentiel à deux champs $\phi(x, t)$ et $\psi(x, t)$

$$V(\phi, \psi) = (\psi^2 - \delta_1)(\psi^2 - 1)^2 + \frac{\alpha}{\psi^2 + \gamma} [(\phi^2 - 1)^2 - \frac{\delta_2}{4}(\phi - 2)(\phi + 1)^2]$$

- ❶ 1+1 dimensions (x,t) mais on cherche une solution statique
- ❷ Beaucoup de paramètres : $\alpha, \gamma, \delta_1, \delta_2$
- ❸ Les champs sont couplés

Pourquoi bâtir un potentiel comme ça en premier lieu ? ! ? !

- ① $\delta_1 \rightarrow$ contrôle du minima central
- ② Potentiel d'ordre 6,
CLASSIQUE!
 α : Importance du 2ème terme
 γ : Importance du couplage

- ① $\delta_2 \rightarrow$ Contrôle de la séparation entre minimum sur l'axe ϕ

À venir...

- 1 Trouver des solutions aux équations de mouvements
(contraintes à $\lim_{x \rightarrow \pm\infty}$)
- 1 Tester la stabilité de la solution
- 1 Trouver une borne maximale sur l'action \rightarrow borne minimale sur τ